

- [3] Carter S.J., Drummond P.D., Reid M.D. et. al. // Phys. Rev. Lett. 1987. V. 58. P. 1841.
- [4] Drummond P.D., Carter S.J. // J. Opt. Soc. Am. B. 1987. V. 4. P. 1565.
- [5] Белинский А.В., Чиркин А.С. // Квантовая электроника. 1989. Т. 16. С. 2570.
- [6] Белинский А.В., Чиркин А.С. // ЖЭТФ. 1990. Т. 98. С. 407.
- [7] Lai Y., Hauke H.A. // Phys. Rev. A. 1989. V. 40. P. 844.

Поступило в Редакцию
7 декабря 1990 г.

Письма в ЖТФ, том 17, вып. 7

12 апреля 1991 г.

05; 09

© 1991

ПРОСТРАНСТВЕННО-ЧАСТОТНАЯ СЕЛЕКЦИЯ
ПОВЕРХНОСТНЫХ МАГНИТОСТИТИЧЕСКИХ ВОЛН
В СТРУКТУРЕ ФЕРРИТ-ЭЛЕКТРОННЫЙ ПОТОК

Г.Т. Казаков, М.Л. Кац,
Ю.А. Филимонов

1. Известно [1], что в случае, когда волновой вектор \vec{q} поверхности магнитостатической волны (ПМСВ), распространяющейся в касательно намагниченной пленке феррита, составляет с внешним магнитным полем \vec{H}_0 угол $\theta \neq \frac{\pi}{2}$ направление переноса энергии ПМСВ зависит от частоты сигнала ω и определяется направлением ее групповой скорости $\vec{v_g} = \nabla_{\vec{q}}\omega(\vec{q})$.

Отмеченное свойство делает возможным использование ПМСВ в устройствах для пространственно-частотной селекции [1, 2]. Однако полученные в [2] для дипольных ПМСВ Дэймона-Эшбаха значения углового разрешения сигналов по частоте α не превышали величину 0.2 град/МГц.

В данной работе возможность повышения углового разрешения по частоте СВЧ сигнала связывается с эффектами резонансного взаимодействия ПМСВ с волнами других типов, поддерживаемыми слоистой ферритовой структурой. Действительно, ПМСВ может взаимодействовать с обменными [3] и упругими [4] волнами в тонкопленочной структуре ферромагнетика, а также с замедленными электромагнитными или электрокинетическими волнами в структурах

„феррит-сегнетоэлектрик” [5] и „феррит-электронный поток” [6] соответственно. При этом в интервале частот $\delta\omega$ в окрестности резонансной частоты ω_0 будет происходить образование гибридных волн с законами дисперсии $\omega = \omega(\vec{q})$ и групповой скоростью, отличающимися от таковых для „исходной” ПМСВ. Далее на примере резонансного взаимодействия ПМСВ с электронным потоком (ЭП) показано, что указанные отличия могут быть значительными, а интервал частот, в котором они происходят – достаточно узким, так что угловое разрешение более чем на порядок превышает значения α , полученные в [2]. Следует заметить, что ранее на использование резонансных взаимодействий для управления переносом энергии в ферритах указывалось в [7], где изучалось взаимодействие объемных спиновой и упругой волн в массивном образце феррита. В этом случае направления групповых скоростей „исходных” волн были частотно-независимыми и единственным „анизотропным” параметром, приводящим к отклонению \vec{v} от направления вектора \vec{q} , была связь спиновой и упругой подсистем.

2. Рассмотрим структуру из касательно намагниченного до насыщения слоя изотропного феррита толщины a , контактирующего с электронным потоком, занимающим верхнее полупространство (см. вставку к рис. 1). В отличие от [6] будем считать, что волны в структуре бегут под произвольным углом θ к магнитному полю, а направление скорости дрейфа электронов \vec{v}_0 совпадает с полем. Наряду с безобменным и магнитостатическим приближениями полагаем, что скорость v_0 и плотность N_0 электронов в ЭП не слишком велики, а угол θ мало отличается от $\pi/2$.

$$\xi = \frac{v_0^2}{c^2} \ll 1, \quad \eta = \frac{\omega_p^2}{\omega_n^2} \ll 1, \quad \cos \leq 1,$$

где c – скорость света, $\omega_p^2 = \frac{4\pi e^2 N_0}{m}$, $\omega_h = \gamma H_0 > 0$, γ – генромагнитное отношение, e и m – заряд и масса электрона. Дисперсионное уравнение для поверхностных волн в рассматриваемой структуре в главном порядке по малым параметрам ξ , η и $\cos \theta$ имеет вид

$$D_1 \{ D_2 (D_3 D_4 + \mathcal{G}_1) + \mathcal{G}_2 \} = \mathcal{G}_0, \quad (1)$$

$$\text{где } D_1 = \mu \varphi + \frac{(1-\mu \varphi)^2 - \mu_a^2 \sin^2 \theta}{4} (1 - e^{-2\varphi a}), \quad \varphi = \sqrt{\frac{\cos^2 \theta}{\mu} + \sin^2 \theta},$$

$$\mu = 1 + \frac{\omega_h \omega_M}{\omega_h^2 - \omega^2}, \quad \mu_a = \frac{\omega \omega_M}{\omega_h^2 - \omega^2}, \quad \omega_M = \gamma \cdot 4 \pi M_c > 0, \quad D_2 = \omega - \vec{q} \cdot \vec{v}_0,$$

$$D_3 = D_2 - \omega_h, \quad D_4 = D_2 + \omega_h, \quad \mathcal{G}_1 = -\frac{\omega_p^2}{\omega} D_5 \beta, \quad \mathcal{G}_2 = \omega_p^2 D_5 \beta,$$

$$D_5 = D_2 - \omega_h \sin \theta, \quad \beta = \frac{(\mathcal{E}_1 + 1) - (\mathcal{E}_1 - 1) e^{-2\varphi a}}{(\mathcal{E}_1 + 1)(\mathcal{E}_2 + 1) - (\mathcal{E}_1 - 1)(\mathcal{E}_2 - 1) e^{-2\varphi a}}, \quad \mathcal{E}_1 = \frac{E_0}{E_d}, \quad \mathcal{E}_2 = \frac{E_0}{E_L},$$

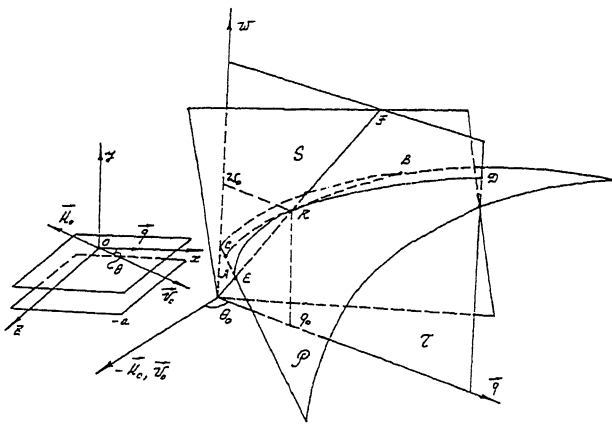


Рис. 1. Общий вид дисперсионных поверхностей взаимодействующих волн в окрестности резонанса ПМСВ и ВПЗ, на вставке - геометрия задачи.

$$\mathcal{G}_o = \omega_p^2 D_5 \sin^2 \theta \frac{(1 + u_o \sin \theta)^2 - \mu^2 \alpha^2}{4} (1 - e^{-2\alpha q a}), \quad 4\pi M_o -$$

намагниченность насыщения, ϵ_L , ϵ_o , ϵ_d - диэлектрические проницаемости полупространства с ЭП (статическая), феррита и подложки соответственно.

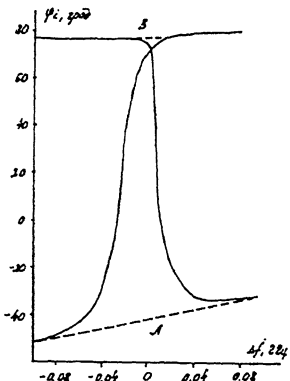
В уравнении (1) члены вида $D_i = 0$, $i = 1 \dots 4$ описывают „исходные“ дисперсионные зависимости ПМСВ, волны пространственного заряда (ВПЗ), быстрой и медленной циклотронных волн соответственно, а \mathcal{G}_i отвечают их взаимодействию, которое в условиях фазового синхронизма (при пересечении ветвей дисперсии) носит резонансный характер. Из всех возможных в структуре резонансов будем рассматривать здесь лишь взаимодействие ПМСВ с ВПЗ, для которого уравнение (3) преобразуется к виду

$$D_1 \cdot D_2 = \mathcal{G}, \quad (1)$$

где $\mathcal{G} = \mathcal{G}_o [D_3 D_4 + \mathcal{G}_1]^{1/2}$. На рис. 1 показаны „исходные“ дисперсионные поверхности ПМСВ (P) и ВПЗ (S). Линия их пересечения AB представляет собой геометрическое место точек $R (\omega_o, q_o, \theta_o)$, в которых возможно резонансное взаимодействие между названными волнами. Если теперь задать направление распространения волн в структуре, зафиксировав $\theta = \theta_o$ (плоскость τ), на дисперсионных поверхностях будут выделены кривые CD и EF отвечающие дисперсиям ПМСВ и ВПЗ соответственно. Перестройку законов дисперсии в окрестности т. R можно описать в приближении слабой связи взаимодействующих волн ($\mathcal{G} \sim \frac{1}{2} \mathcal{G}_1 \ll 1$), проведя, по аналогии с [6], линеаризацию уравнения (1') относительно малых отклонений от резонанса:

$$\Delta \omega = \omega - \omega_o, \quad \Delta q = q - q_o, \quad \Delta \theta = \theta - \theta_o, \quad |\Delta \omega| \ll \omega_o, \quad |\Delta q| \ll q_o, \quad |\Delta \theta| \ll \theta_o.$$

Рис. 2. Зависимости угла разворота групповых скоростей взаимодействующих волн в окрестности резонансной частоты: А - ПМСВ, В - ВПЗ.



При этом получается квадратное уравнение, решение которого для отклонений по частоте $\Delta\omega$ можно записать как

$$\Delta\omega_{1,2} = \frac{\Delta\varphi}{2}(\omega_{1,q} + \omega_{2,q}) + \frac{\Delta\theta}{2}(\omega_{1,\theta} + \omega_{2,\theta}) \pm \sqrt{\left[\frac{\Delta\varphi}{2}(\omega_{1,q} - \omega_{2,q}) + \frac{\Delta\theta}{2}(\omega_{1,\theta} - \omega_{2,\theta})\right]^2 + \bar{G}}, \quad (2)$$

где $\omega_{i,q} = -\left(\frac{\partial D_i / \partial q}{\partial D_i / \partial \omega}\right)$, $\omega_{i,\theta} = -\left(\frac{\partial D_i / \partial \theta}{\partial D_i / \partial \omega}\right)$, $i=1, 2$ - составляющие

групповой скорости i -ой „исходной“ волны вдоль волнового вектора \vec{q} и перпендикулярно ему (по θ); $\bar{G} = G \left[\frac{\partial D_1}{\partial \omega} \frac{\partial D_2}{\partial \omega} \right]^{-1}$.

Учитывая, что при $\Delta\varphi = 0$ и $\Delta\theta = 0$ под радикалом в (2) стоит существенно положительная величина, получаем, что резонансное взаимодействие ПМСВ с ВПЗ приводит к расталкиванию ветвей дисперсии и образованию частотной „щели“ в спектре гибридных волн. Будем определять групповую скорость таких волн как

$$\vec{\omega}_{S,i} = \frac{\vec{q}}{|q|} \omega_{S,q,i} + \frac{\vec{\theta}}{|\theta|} \omega_{S,\theta,i}, \quad (3)$$

где $\omega_{S,q,i} = \frac{\partial \Delta\omega_i}{\partial \Delta q}$, $\omega_{S,\theta,i} = \frac{\partial \Delta\omega_i}{\partial \Delta \theta}$ - проекция групповой скорости на соответствующие оси, а $\Delta\omega_i$ определяется из (2).

3. Будем характеризовать отклонение групповой скорости i -ой гибридной волны от направления волнового вектора \vec{q} углом

$$\varphi_i = \arctg \left(\frac{\omega_{S,\theta,i}}{\omega_{S,q,i}} \right). \quad (4)$$

На рис. 2 показаны рассчитанные зависимости $\varphi_i = \varphi_i(\Delta f)$, $\Delta f = \frac{\Delta\omega}{2\pi}$ для структуры с параметрами $H_r = 1000$ Э, $4\pi M_r = 1750$ Гс, $a = 50$ мкм, $\omega_0 = 3 \cdot 10^9$ см/с, $N_r = 5 \cdot 10^{10}$ см $^{-3}$, $\mu = 85^\circ$. При этом резонанс достигался при $f_r = \frac{\omega_0}{2\pi} = 5.1$ ГГц и $q_r = 136$ см $^{-1}$.

Для наглядности там же пунктиром изображены аналогичные зависимости для „исходных“ (невозмущенных) волн. Видно, что угловое разрешение по частоте, которое определяется как

$\omega = 2\pi \frac{\partial \varphi_i(\Delta\omega)}{\partial \Delta\omega}$ в окрестности резонанса составляет величину $\omega \sim 13$ град/МГц, что значительно выше, чем в структуре, рассмотренной в [1, 2].

Отметим в заключение, что определение групповой скорости гибридных волн (3) корректно лишь при условии, что величина их дисперсионного расплывания за время распространения $t = L/v_g$ (где L – характерный размер структуры: в направлении вектора \vec{q}) достаточно мала, т.е.

$$\left| \frac{1}{2} \frac{\partial^2 \Delta\omega_i}{\partial \Delta q^2} \Delta q^2 + \frac{\partial^2 \Delta\omega_i}{\partial \Delta q \partial \Delta \theta} \Delta q \Delta \theta + \frac{1}{2} \frac{\partial^2 \Delta\omega_i}{\partial \Delta \theta^2} \Delta \theta^2 \right| \cdot \left(\frac{\partial \Delta\omega}{\partial \Delta q} \right)^{-1} \ll \frac{\pi}{L}. \quad (5)$$

Используя (2), связывающее в явном виде $\Delta\omega$ с Δq , $\Delta\theta$, можно убедиться, что при выбранных значениях параметров левая часть (5) не превосходит $1/3$ и для типичных для ПМСВ $L \leq 3$ см условие (5) хорошо выполняется.

Список литературы

- [1] Collins J.H., Pizzarello F.A. // Intern. J. Electronics. 1973. V. 34. N 3. P. 319–351.
- [2] Вашковский А.В., Гречушкин К.В., Стальмаков А.В. // РЭ. 1985. Т. XXX. № 12. С. 2422–2428.
- [3] Бугаев А.С., Гуляев Ю.Б., Зильберман Г.Е. и др. // Письма в ЖЭТФ. 1979. Т. 30. № 9. С. 600–604.
- [4] Гуляев Ю.Б., Зильберман Г.Е. // Изв. вузов. сер. Физика. 1988. Т. 31. № 11. С. 6–23.
- [5] Анфилогенсв В.Е., Вербицкая Т.Н., Гуляев Ю.Б. и др. // РЭ. 1989. Т. 34. С. 494–499.
- [6] Гуляев Ю.Б., Зильберман Г.Е., Раевский А.О. // ФТТ. 1981. Т. 23. № 9. С. 2580–2589.
- [7] Auld B.A. // Bell Syst. Tech. J. 1965. N 3. P. 495–507.

Институт радиотехники
и электроники АН СССР,
Саратовский филиал

Поступило в Редакцию
25 января 1991 г.